

VIVIENDO SOBRE UNA BRANA

Rommel Guerrero

*Unidad de Investigación en Ciencias Matemática
Universidad Centroccidental Lisandro Alvarado*

Alejandra Melfo Omar Rodríguez

Nelson Pantoja Rafael Torrealba

Ruben Ortiz

Susana Zoghbi

CONTENIDO

1. Escenario Randall Sundrum
2. Acoplamiento Einstein campo escalar

Guerrero, Rodriguez, Torrealba y Ortiz, Gen. Rel. Grav. 38 (2006), [gr-qc/0504080]

3. Branas asimétricas
- Guerrero, Rodriguez y Torrealba, Phys. Rev. D 72 (2005), [hep-th/0510023]

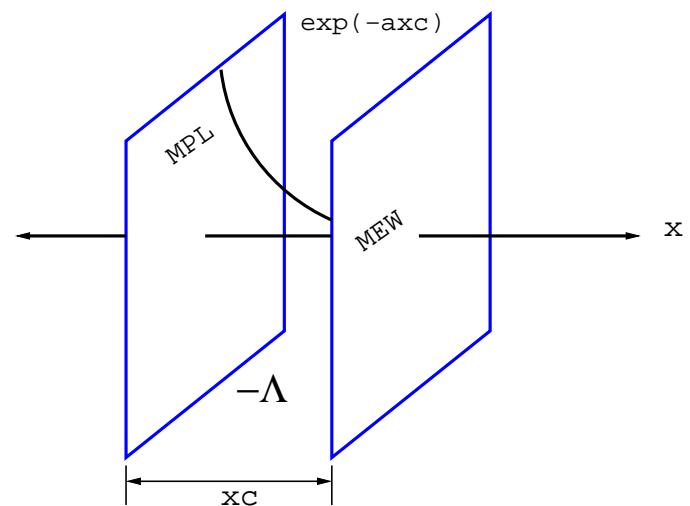
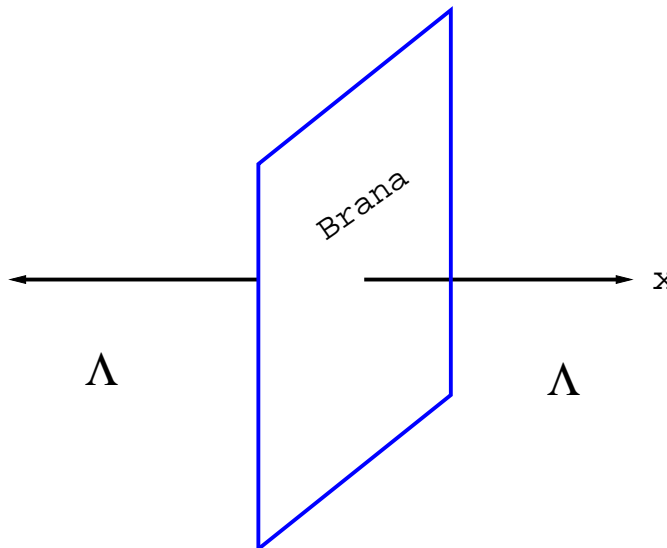
4. Jerarquía sobre un mundo brana doble
- Guerrero, Melfo, Pantoja y Rodriguez, Phys. Rev. D 74 (2006), [hep-th/0605160]

I. DIMENSIONES ADICIONALES

$$\text{Jerarquía de masas} \quad M_{EW}/M_{Pl} = 10^{-17}$$

Nuestro Universo corresponde a una hipersuperficie cuatro-dimensional sumergida en un espacio-tiempo de alta dimensionalidad

- Akama (1982)
- Rubakov & Shaposhniko (1983)
- Randall & Sundrum (mayo 1999): $M_{EW} = e^{-\alpha x_c} M_{Pl}$



II. LOCALIZACIÓN DE GRAVEDAD

Randall & Sundrum (junio 1999): Es posible localizar la gravedad sobre una brana inmersa en un espacio-tiempo con una dimensión adicional extendida.

1.- La geometría

$$g_{ab} = f(x)^2(-dt_a dt_b + dy_a^i dy_b^i) + dx_a dx_b, \quad f(x) = e^{-\alpha|x|}, \quad \alpha > 0$$

$$G_{ab} + \Lambda g_{ab} = 6\alpha\delta(x)(dt_a dt_b - dy_a^i dy_b^i), \quad \Lambda = -6\alpha^2$$

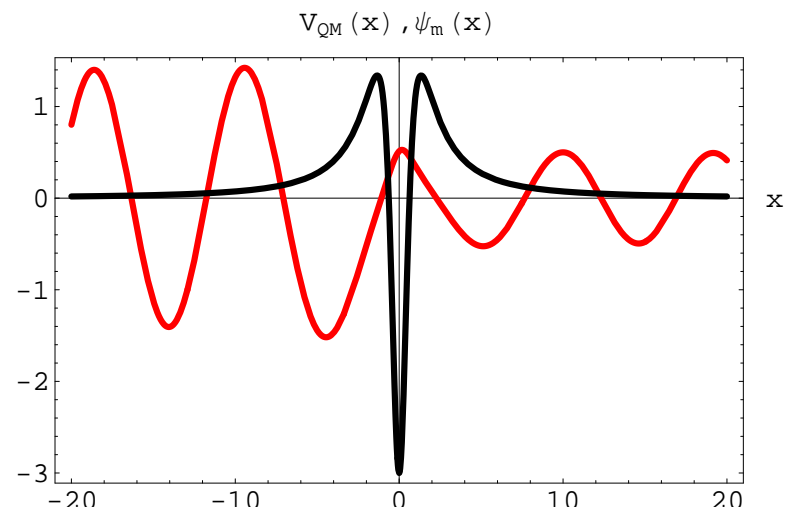
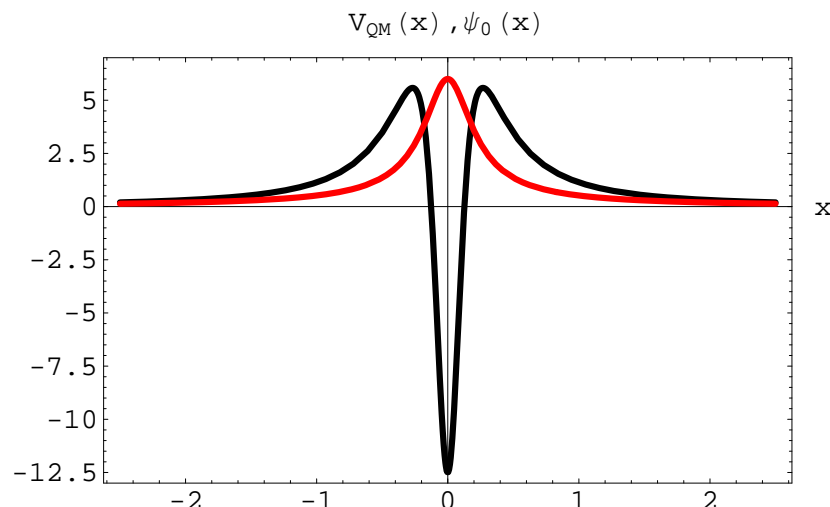
2.- Radiación gravitacional

- Coordenada conformal $\chi = \text{sgn}(x)(e^{\alpha|x|} - 1)/\alpha \Rightarrow ds^2 = f(\chi)^2 \eta_{ab} dy^a dy^b + f(\chi)^2 d\chi^2$
- Fluctuaciones TT $g_{ab} + h_{ab}, \quad \partial^a h_{ab} = 0 = h_c{}^c, \quad h_{ax} = 0$
- Factorizando $h_{\mu\nu} = \Phi(y) f(\chi)^{-3/2} \psi_{\mu\nu}(\chi), \quad \mu, \nu = 0 \dots 3$

$$(-\partial_\chi^2 + V_{QM}) \psi(\chi) = m^2 \psi(\chi), \quad V_{QM}(\chi) = \frac{3}{4} \frac{f'^2}{f^2} + \frac{3}{2} \frac{f''}{f}, \quad \square_{(4)} \Phi(y) = m^2 \Phi(y)$$

$$\left(\partial_\chi + \frac{3}{2} \frac{f'}{f} \right) \left(-\partial_\chi + \frac{3}{2} \frac{f'}{f} \right) \psi = m^2 \psi, \quad Q^\dagger Q \psi = m^2 \psi \quad \Rightarrow \quad m^2 \geq 0$$

$$V_{QM}(\chi) = \frac{15\alpha^2}{8(1 + \alpha|\chi|)^2} - \frac{3}{2}\alpha\delta(\chi)$$



3.- Espectro de autofunciones

- Modo cero

$$\psi_0 \sim \frac{1}{(\alpha|\chi| + 1)^{3/2}}$$

- Modos masivos

$$\psi_m(\chi) \sim (|\chi| + 1/\alpha)^{1/2} \left[Y_2(m(|\chi| + 1/\alpha)) + \frac{4\alpha^2}{\pi m^2} J_2(m(|\chi| + 1/\alpha)) \right]$$

Mientras que el modo cero permanece localizado sobre la 3-brana, los modos masivos se propagan libremente en el *bulk* cinco-dimensional.

4.- Gravedad sobre la 3-brana

- Interacción gravitacional

$$V(r) = G \frac{m_1 m_2}{\alpha r} \left[\psi_0(0)^2 + C \int_0^\infty \psi_m(0)^2 e^{-mr} dm \right]$$

- Autofunciones sobre la brana

$$\psi_0(0)^2 \longrightarrow \alpha \quad \psi_m(0)^2 \longrightarrow \frac{m}{\alpha}$$

- Potencial Newtoniano

$$V(r) = G_N \frac{m_1 m_2}{r} \left(1 + \frac{1}{r^2 \alpha^2} \right)$$

- Gravedad Newtoniana para $r \gg \alpha^{-1}$

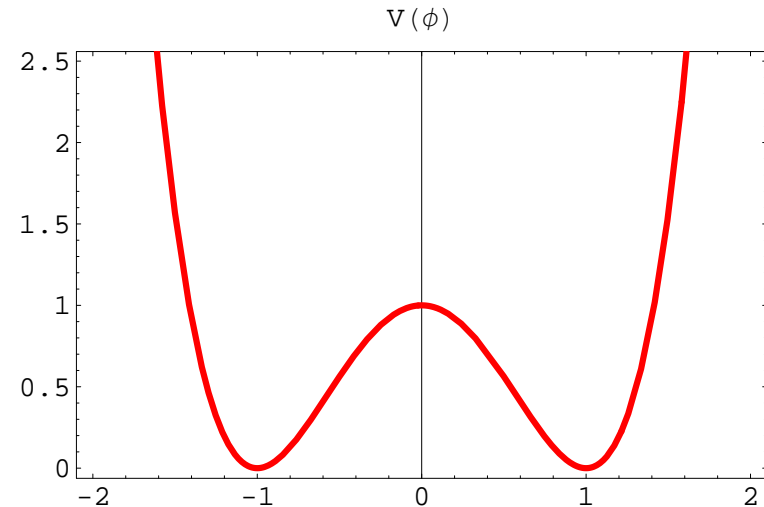
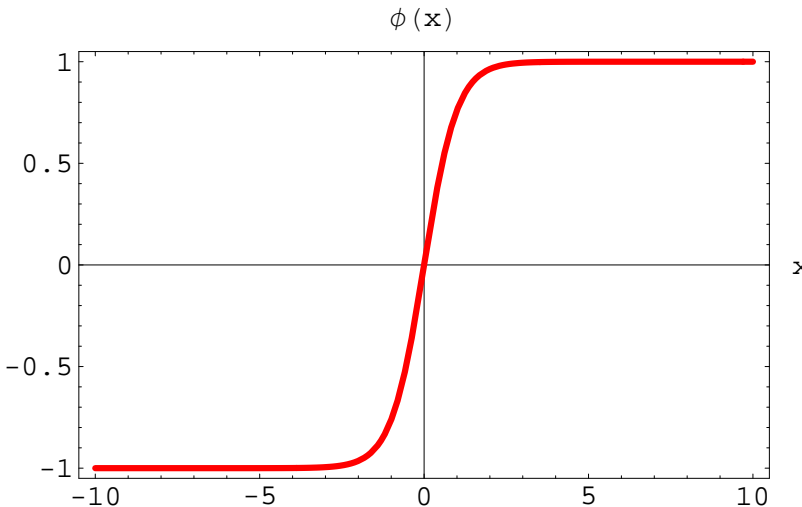
III. BRANAS GRUESAS

1.- Acoplamiento Einstein campo escalar

$$R_{ab} - \frac{1}{2}g_{ab}R = \nabla_a\phi\nabla_b\phi - g_{ab} \left[\frac{1}{2}\nabla_c\phi\nabla^c\phi + V(\phi) \right]$$

$$\nabla_a\nabla^a\phi - \frac{dV(\phi)}{d\phi} = 0$$

donde $\phi(x)$ interpola asintóticamente y de manera suave entre dos mínimos consecutivos de $V(\phi)$



2.- Un método para generar soluciones - Guerrero, Ortiz, Rodriguez & Torrealba (2006)

- En las coordenadas

$$g_{ab} = g(x)^2(-dt_a dt_b + e^{2\beta t} dy_a^i dy_b^i + dx_a dx_b), \quad g(x) = \frac{1}{f(x)}$$

- Ecuación para el campo

$$g''(x) - \left(\frac{1}{3} \phi'(x)^2 + \beta^2 \right) g(x) = 0$$

- Solución general

$$g(x) = g_1(x) (c_1 + c_2 \Omega(x)), \quad \Omega(x) \equiv \int_{x_0}^x \frac{d\xi}{g_1(\xi)^2}$$

- Singularidad de coordenadas

$$c_1 = 0, c_2 \neq 0 \Rightarrow \Omega(x)|_{x=x_0} = 0 \quad c_1, c_2 \neq 0 \Rightarrow \Omega(x)|_{x=x_p} = -\frac{c_1}{c_2}$$

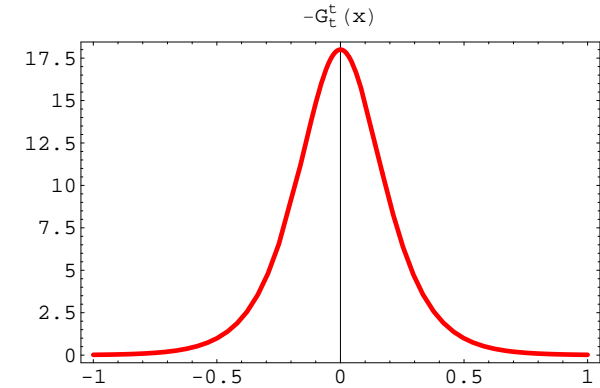
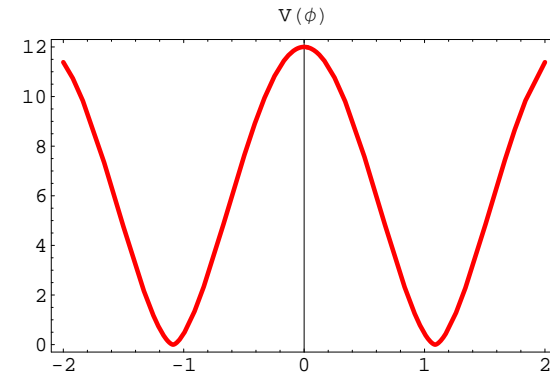
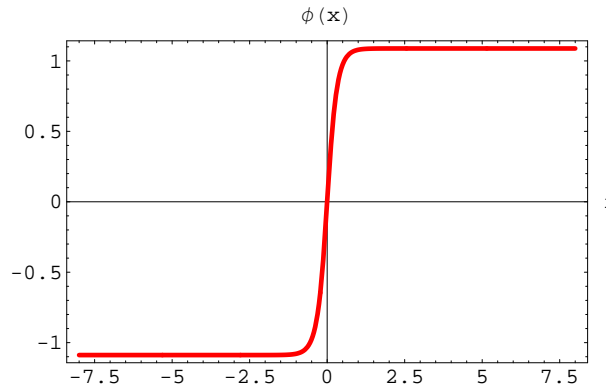
3.- Una brana gruesa con expansión de Sitter - G. Goetz (1990)

i) La geometría pared de dominio

$$g_{ab} = \cosh^{-2\delta}(\beta x/\delta)(-dt_a dt_b + e^{2\beta t} dy_a^i dy_b^i + dx_a dx_b)$$

$$\phi(x) = \phi_0 \tan^{-1} \sinh(\beta x/\delta), \quad \phi_0 = \sqrt{3\delta(1-\delta)}$$

$$V(\phi) = \frac{3}{2} \left(3 + \frac{1}{\delta} \right) \beta^2 \cos^{2(1-\delta)}(\phi/\phi_0) \Rightarrow \Lambda = 0$$

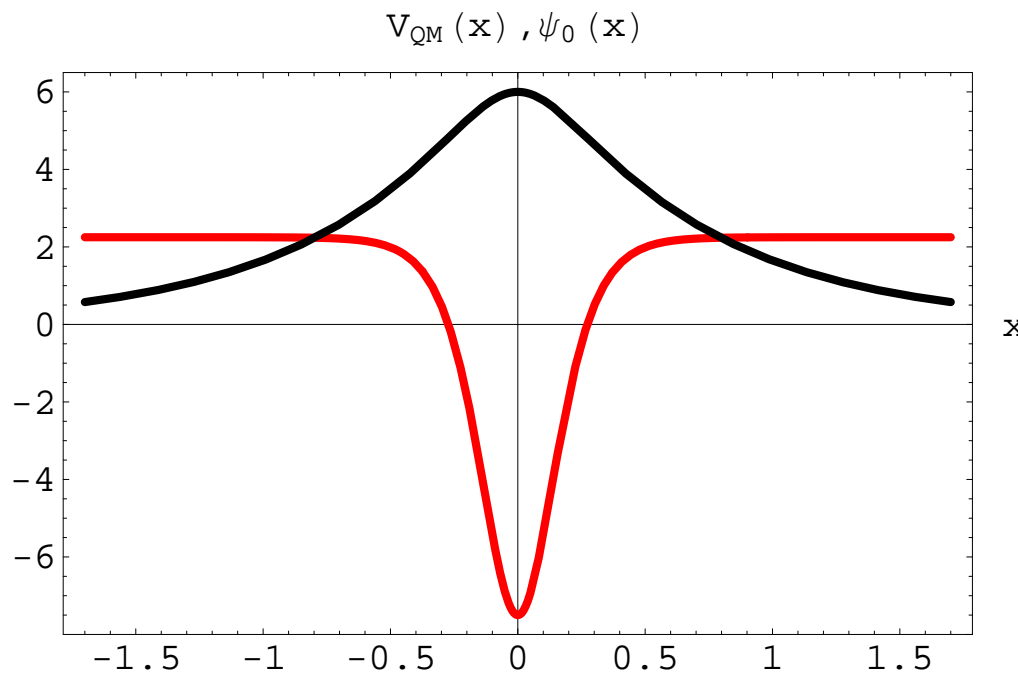


ii) Localización de gravedad - Wang (2002)

$$h_{\mu\nu} = \Phi(y)f(x)^{1/2}\psi_{\mu\nu}(x), \quad Q^\dagger Q\psi = m^2\psi, \quad m^2 \rightarrow m^2 - 2\beta^2$$

$$V_{QM} = \frac{9}{4}\beta^2 - \frac{3}{2}\beta^2 \left(\frac{3}{2} + \frac{1}{\delta} \right) \cosh(\beta x/\delta)^{-2}, \quad \psi_0 = N[\cosh^{-\delta}(\beta x/\delta)]^{3/2}$$

\exists una brecha de masa igual a $9\beta^2/4$ entre el modo cero y el continuo de estados masivos no localizados



iii) Límite de pared delgada $\delta \rightarrow 0$ - Guerrero, Melfo & Pantoja (2002)

$$ds^2 = e^{-2\beta|x|}(-dt^2 + e^{2\beta t}dy^i dy^i + dx^2)$$

iv) Potencial de Newton

- Kehagias & Tamvakis (2002)
- Ghoroku, Nakamura & Yahiro (2003)

$$V(r) = \frac{Gm_1 m_2}{r} \left[1 + C \frac{1}{\beta^2 r^2} \right], \quad \beta \ll 1$$

...sólo es posible reproducir gravedad newtoniana sobre branas dS en *bulk AdS*.

4.- Una brana asimétrica con expansión dS - Guerrero, Rodriguez & Torrealba (2005)

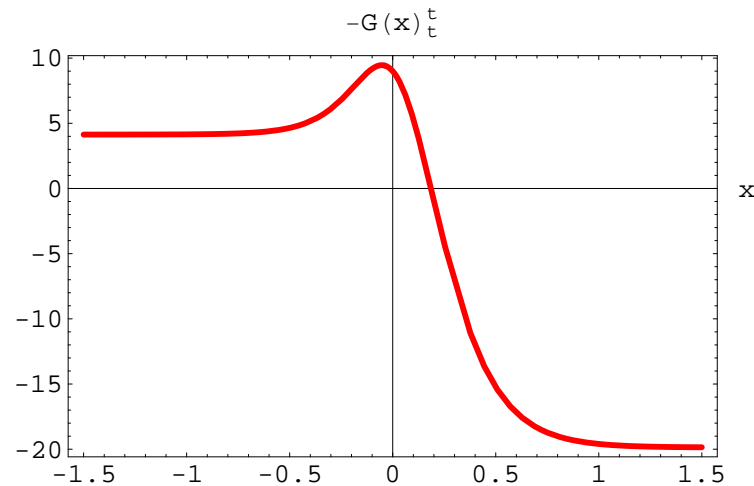
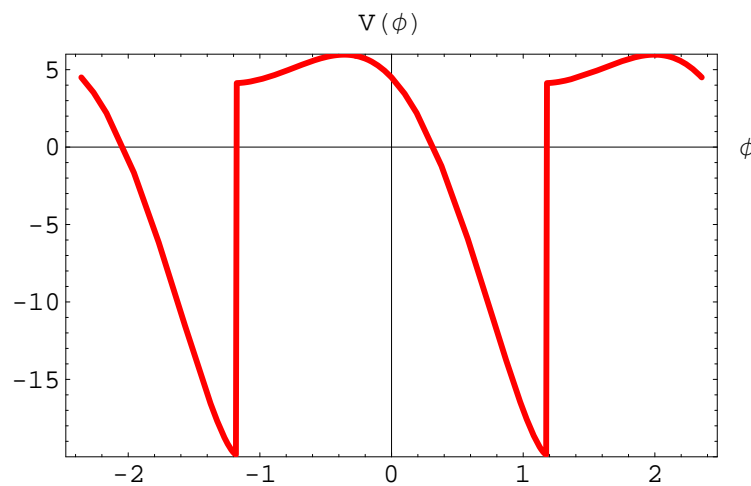
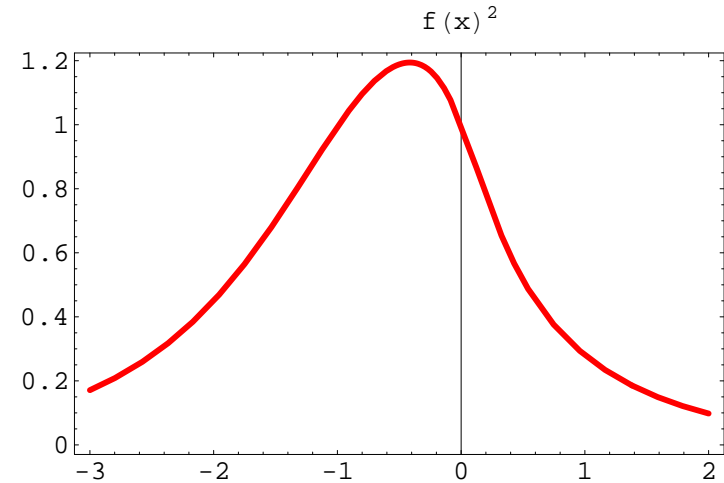
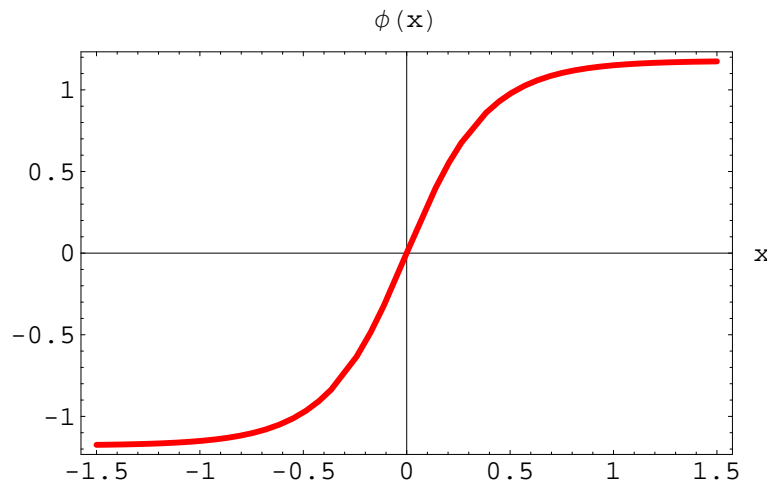
i) La geometría pared de dominio $\beta > 0, \delta = 1/4, c_1 = 1, c_2 = \lambda$

$$\phi(x) = \phi_0 \arctan(\sinh 4\beta x), \quad \phi_0 = 3/4$$

$$g(x) = \frac{1}{2\beta} \cosh^{1/4}(4\beta x) \mathcal{H}(x), \quad 2\beta/\varepsilon > \lambda > 0$$

$$\mathcal{H}(x) \equiv 2\beta - \lambda iF[2i\beta x, 2]$$

$$V(\phi) = \frac{21}{8} |\cos 4\phi/3|^{3/2} \mathcal{H}(\phi)^2 - \\ 6 \lambda |\cos 4\phi/3|^2 \mathcal{H}(\phi) \tan(4\phi/3) - 6 \lambda^2 |\cos 4\phi/3|^{1/2}$$

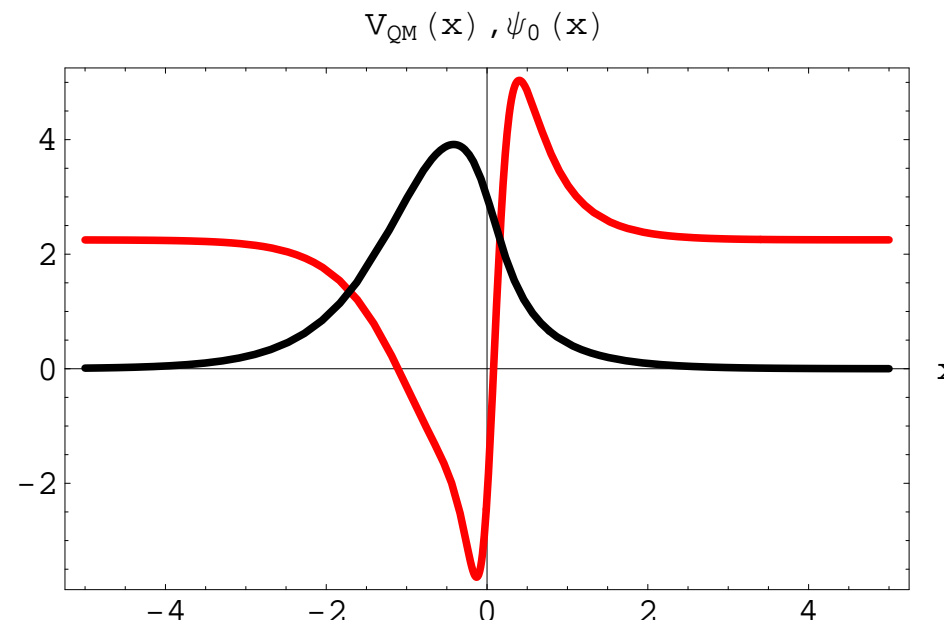


ii) Localización de gravedad

$$V_{QM}(x) = \frac{15\beta^2}{\cosh^2(4\beta x)\mathcal{H}(x)^2} [\alpha^2 \cosh(4\beta x) + \frac{\alpha}{2} \cosh^{-1/2}(4\beta x) \sinh(8\beta x)\mathcal{H}(x) - \frac{1}{40} (19 - 3 \cosh 8\beta x)\mathcal{H}(x)^2]$$

$$\psi_0 = N \left[\frac{1}{2\beta} \cosh^{1/4}(4\beta x) \mathcal{H}(x) \right]^{-3/2}$$

\exists una brecha de masa igual a $9\beta^2/4$ entre el modo cero y el continuo de estados masivos no localizados



iii) Límite de pared delgada - Guerrero, Rodriguez & Zoghbi

$$ds^2 = g(x)^{-2}(-dt^2 + e^{2\beta t}dy^i dy^i + dx^2)$$

$$\lim_{\delta \rightarrow 0} g(x) = e^{\beta|x|} + \frac{\lambda}{\beta} \sinh(\beta x)$$

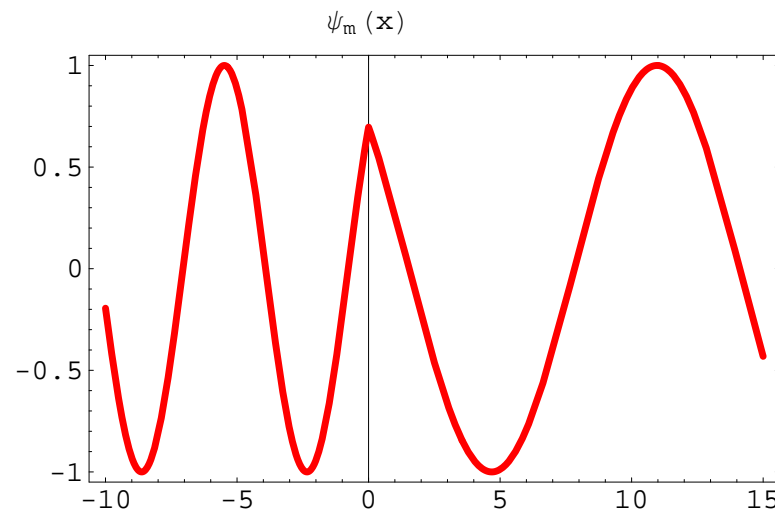
$$\Lambda_> = -6\lambda(2\beta + \lambda) \quad \Lambda_< = 6\lambda(2\beta - \lambda)$$

iv) Modos masivos

$$\begin{aligned} \psi_{m>}(x) = & A_+ [\lambda(z-1)]^a e^{-ikx} {}_2F_1 [a, b - ik/\beta, c - ik/\beta; z] \\ & + B_+ [\lambda(z-1)]^a e^{ik\xi} {}_2F_1 [a, b + ik/\beta, c + ik/\beta; z], \end{aligned}$$

$$\begin{aligned} \psi_{m<}(x) = & A_- [\lambda(z-1)]^a e^{-ik\xi} {}_2F_1 [a, b - ik/\beta, c - ik/\beta; z] \\ & + B_- [\lambda(z-1)]^a e^{ikx} {}_2F_1 [a, b + ik/\beta, c + ik/\beta; z], \end{aligned}$$

$$a = \frac{5}{2}, \quad b = \frac{5}{2}, \quad k^2 = m^2 - \frac{9}{4}\beta^2, \quad z = \begin{cases} \left[\frac{2\beta+\lambda}{\lambda} \right] e^{2\beta x}, & x > 0 \\ \left[\frac{-2\beta+\lambda}{\lambda} \right] e^{-2\beta x}, & x < 0 \end{cases}$$



vi) Condiciones de borde sobre la brana

- Continuidad de la función de onda

$$\psi_{m>}(0) = \psi_{m<}(0)$$

- Discontinuidad en la primera derivada

$$\frac{d}{dx} \psi_{m>}(0) - \frac{d}{dx} \psi_{m<}(0) = -\frac{1}{2}(6\beta)\psi_m(0)$$

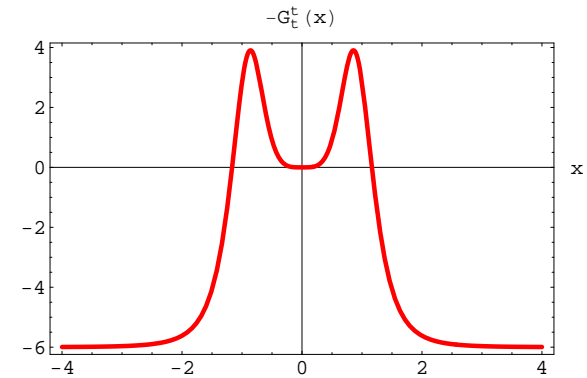
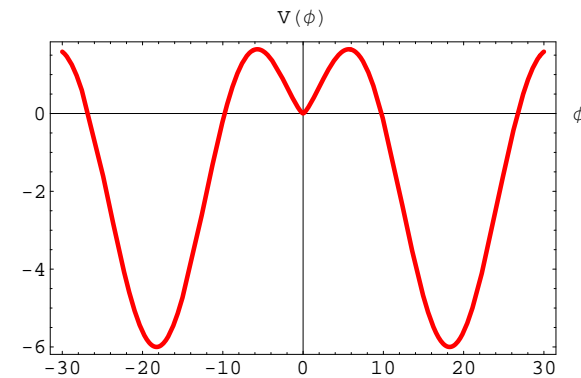
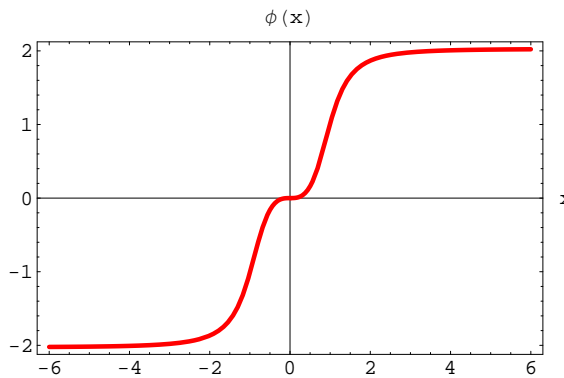
5.- Un espacio-tiempo pared doble - Melfo, Pantoja & Skirzewski (2003)

i) La geometría pared de dominio

$$g_{ab} = (1 + (\alpha x)^{2s})^{-\frac{1}{s}} (-dt_a dt_b + dy_a^i dy_b^i + dx_a dx_b), \quad s > 1$$

$$\phi(x) = \phi_0 \tan^{-1}(\alpha^s x^s), \quad \phi_0 = \frac{\sqrt{3(2s-1)}}{s}$$

$$V(\phi) = 3\alpha^2 \sin(\phi/\phi_0)^{2-2/s} \left[\frac{2s+3}{2} \cos(\phi/\phi_0)^2 - 2 \right], \quad \Lambda = -6\alpha^2$$

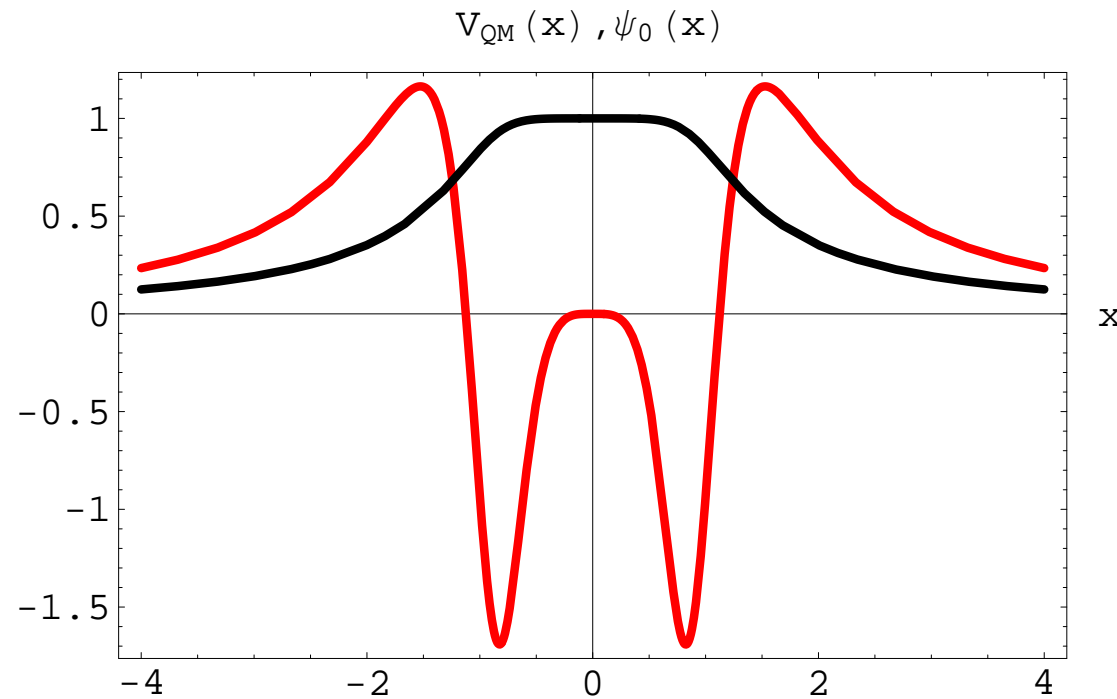


ii) Localización de gravedad - Castillo, Melfo, Pantoja & Ramirez (2004)

$$h_{\mu\nu} = e^{ip \cdot y} f(x)^{1/2} \psi_{\mu\nu}(x), \quad Q^\dagger Q \psi = m^2 \psi$$

$$V_{QM} = \frac{3}{4x^2} \frac{5(\alpha x)^{4s} + 2(\alpha x)^{2s} - 4s(\alpha x)^{2s}}{(1 + (\alpha x)^{2s})^2}, \quad \psi_0 = N[(1 + (\alpha x)^{2s})^{-\frac{1}{2s}}]^{3/2}$$

\exists un estado ligado en el umbral de m y un continuo de estados masivos no localizados



6.- Una brana doble asimétrica - Guerrero, Rodriguez & Torrealba (2005)

i) La geometría pared de dominio $\beta = 0, c_1 = 1, c_2 = \lambda$

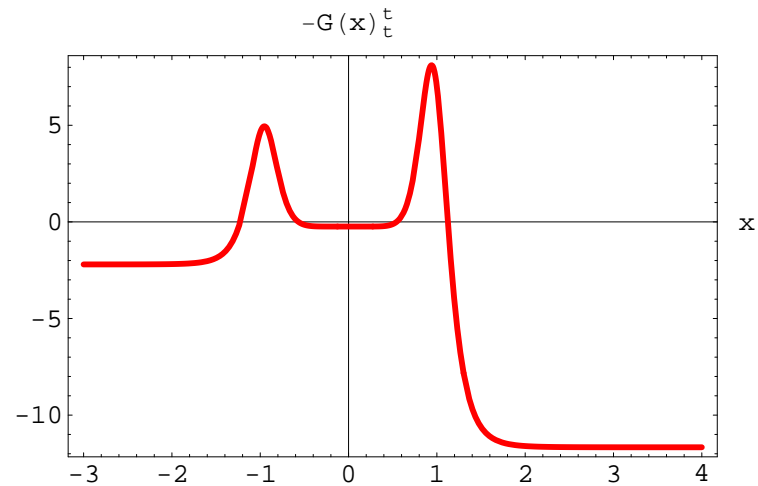
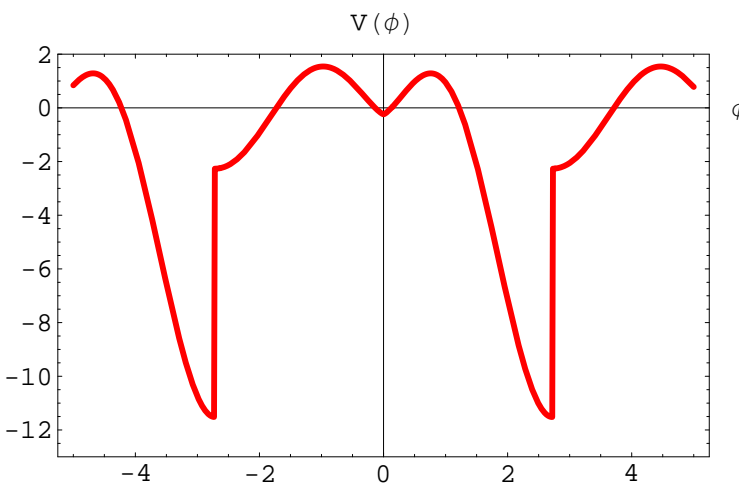
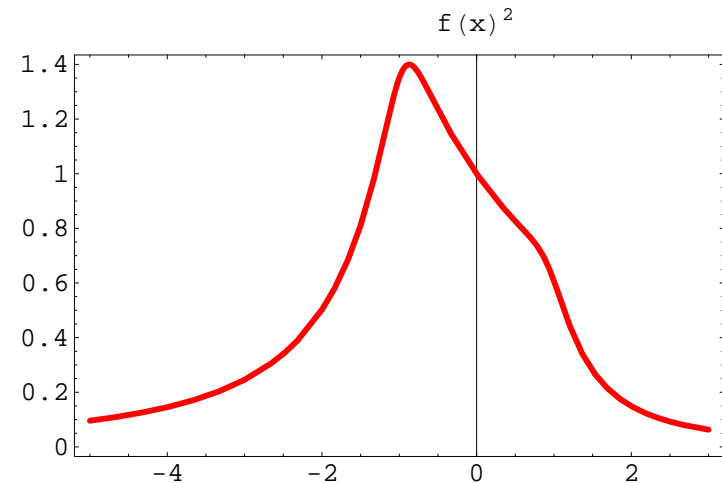
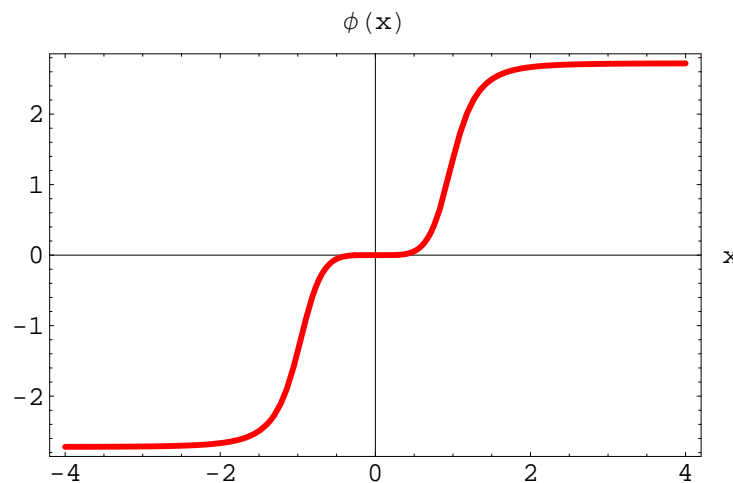
$$\phi = \phi_0 \arctan(\alpha^s x^s), \quad \phi_0 = \frac{\sqrt{3(2s-1)}}{s}, \quad s > 1$$

$$g = [1 + (\alpha x)^{2s}]^{1/2s} \left(1 + \lambda x {}_2F_1\left[\frac{1}{2s}, \frac{1}{s}, 1 + \frac{1}{2s}, -(\alpha x)^{2s}\right] \right)$$

$$|\alpha| \frac{\Gamma(k)}{\Gamma(l) \Gamma(n)} > \lambda > 0$$

$$V(\phi) = -6\lambda^2 \cos^{2/s}(\phi/\phi_0) - \frac{3}{4} \sin^2(\phi/\phi_0) \tan^{-2/s}(\phi/\phi_0) \mathcal{K}(\phi) \times \\ \left\{ 16\lambda \tan^{1/s}(\phi/\phi_0) + \cos^{-2/s}(\phi/\phi_0) (5 - 2s - (3 + 2s) \cos(2\phi/\phi_0)) \mathcal{K}(\phi) \right\}$$

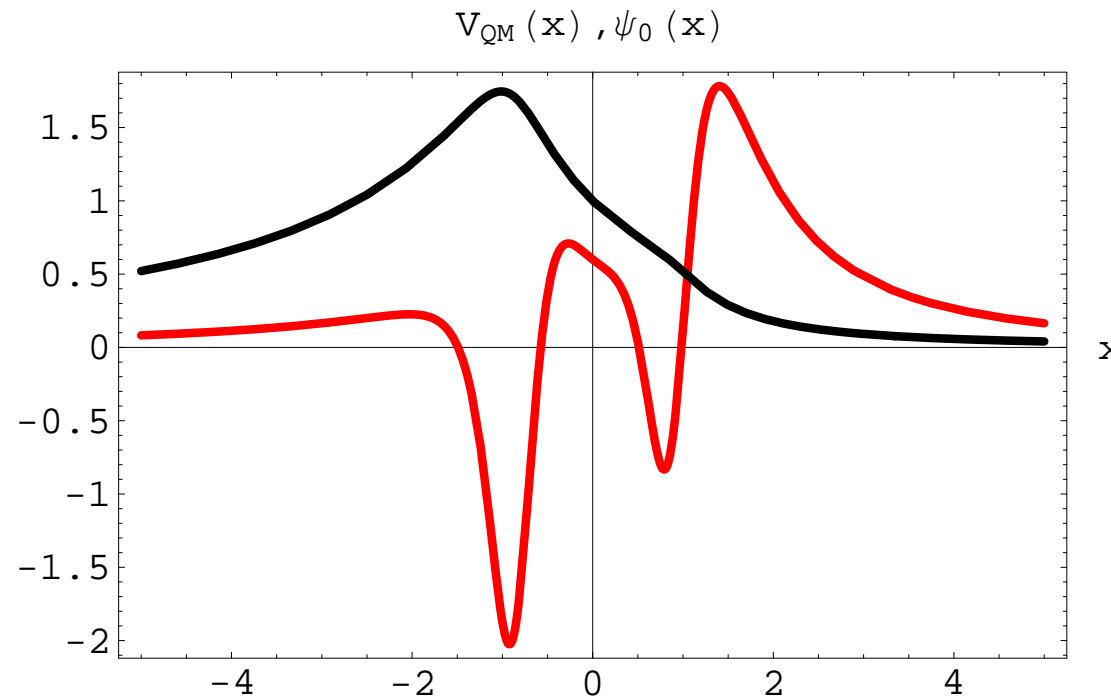
$$\mathcal{K}(\phi) \equiv \alpha + \lambda \tan^{1/s}(\phi/\phi_0) {}_2F_1\left[\frac{1}{2s}, \frac{1}{s}, 1 + \frac{1}{2s}, -\tan^2(\phi/\phi_0)\right]$$



ii) Localización de gravedad

$$\psi_0 = N\alpha^{3/2} [1 + (\alpha x)^{2s}]^{-3/(4s)} \mathcal{K}(x)^{-3/2}$$

- \exists un estado ligado en el umbral de m y un continuo de estados masivos no localizados
- La gravedad resulta localizada sobre una de las sub-branas



IV. LOCALIZACIÓN DE FERMIONES SOBRE BRANAS GRUESAS

- Coordenadas de longitud propia

$$ds^2 = e^{2A(x)} \eta_{ab} dy^a dy^b + dx^2, \quad f(x) = e^{A(x)}$$

- Ecuación Dirac 5-dimensional

$$\Gamma^a \nabla_a \Psi(x, y) = 0, \quad \Psi(x, y)_\pm = \xi(y)_\pm u(x)_\pm$$

- Exigiendo que $\xi(y)_\pm$ satisfaga $\gamma^\mu \partial_\mu \xi(y)_\pm = 0$

$$(\partial_x + 2A') u(x)_\pm = 0, \quad u(x)_\pm \sim e^{-2A(x)} \quad \text{Bajc & Gabadadze (2000)}$$

- Introduciendo un acoplamiento Yukawa $\eta_F \bar{\Psi} \Psi \phi$

$$(\partial_x + 2A' \pm \eta_F \phi) u(x)_\pm = 0, \quad u(x)_\pm \sim e^{-2A(x)} e^{\mp \eta_F \int \phi(x) dx}$$

V. GRAVITONES Y FERMIONES SOBRE BRANAS ASIMÉTRICAS

- Ecuaciones BPS en coordenadas de longitud propia - Skenderis & Townsend (1999)

$$V(\phi) = \frac{9}{2} \left(\frac{dW}{d\phi} \right)^2 - 6W^2, \quad \phi' = 3 \frac{dW}{d\phi}, \quad A' = -W$$

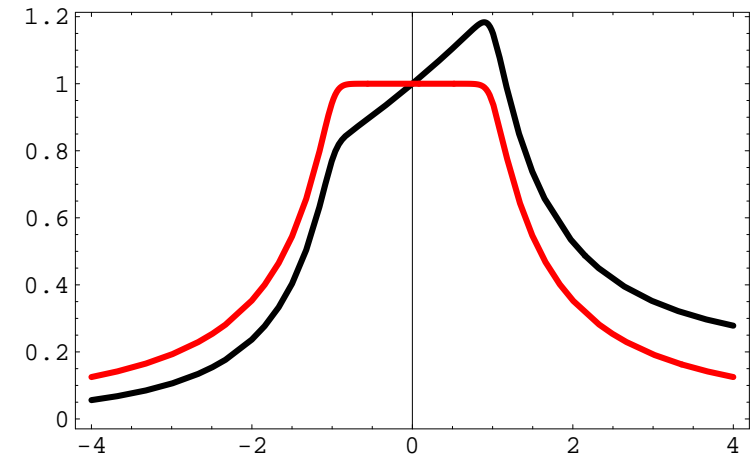
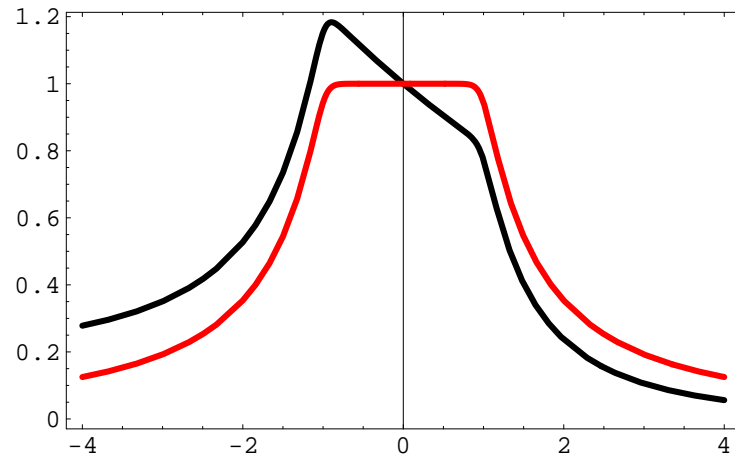
- Gravitones y fermiones simétricos

$$\psi_0 \sim e^{3A(x)/2}, \quad u(x) \sim e^{-2A(x)} e^{\mp \eta_F \int \phi(x) dx}$$

- Introduciendo un parámetro de asimetría

$$\tilde{W} = W + \lambda, \quad \tilde{A}(x) = A(x) - \lambda x$$

$$\tilde{\psi}_0 \sim \psi_0 e^{-3\lambda x/2}$$



VI. JERARQUÍA EN UN MUNDO BRANA DOBLE

1.- En coordenadas más generales $ds^2 = e^{2A(x)}\eta_{ab}dy^a dy^b + e^{2H(x)}dx^2$

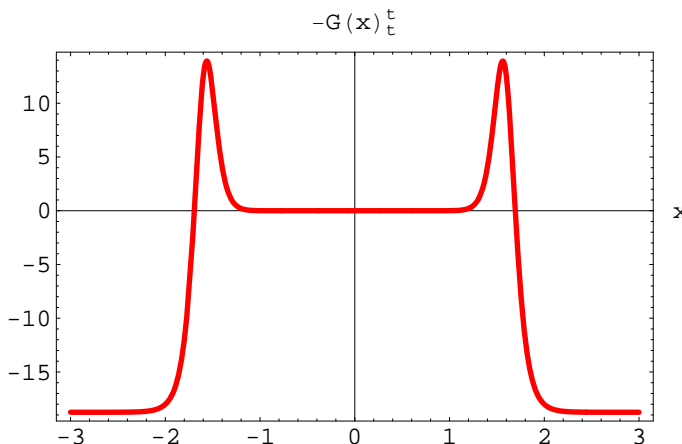
2.- Solución simétrica - Melfo, Pantoja & Skirzewski (2003)

$$W(\phi) = \alpha(\sin \phi/\phi_0)^{\frac{2s-1}{s}}, \quad \phi_0 = \frac{\sqrt{3\delta(2s-1)}}{s}$$

$$A(x) = \delta H(x), \quad H(x) = -\frac{1}{2s} \ln[1 + (\frac{\alpha x}{\delta})^{2s}],$$

$$\phi(x) = \phi_0 \arctan(\frac{\alpha x}{\delta})^s,$$

$$V(\phi) = 3\alpha^2(\sin \phi/\phi_0)^{2-2/s} \left[\frac{2s+4\delta-1}{2\delta} \cos^2 \phi/\phi_0 - 2 \right], \quad \Lambda_{\pm} = -6\alpha^2, \quad \Lambda_{\text{in}} = 0$$



3.- Solución asimétrica - Guerrero, Melfo, Pantoja & Rodriguez (2006)

$$\tilde{W} = W + \lambda$$

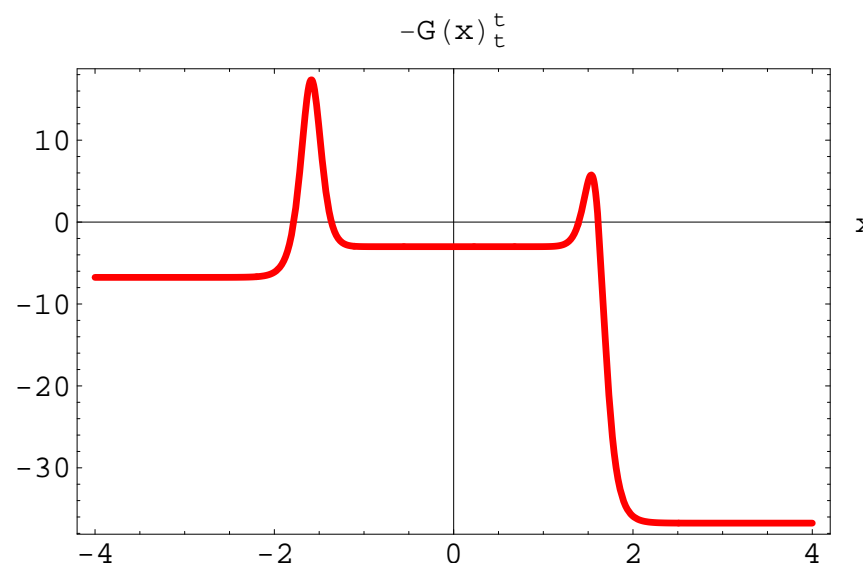
$$\tilde{A}(x) = A(x) - \lambda x {}_2F_1\left[\frac{1}{2s}, \frac{1}{2s}, 1 + \frac{1}{2s}, -(\alpha x/\delta)^{2s}\right],$$

$$\tilde{H}(x) = H(x),$$

$$\tilde{\phi}(x) = \phi(x),$$

$$\tilde{V}(\phi) = V(\phi) - 6\lambda[\lambda + 2\alpha(\sin \phi/\phi_0)^{2-1/s}]$$

$$\Lambda_- = -6(\alpha - \lambda)^2, \quad \Lambda_0 = -6\lambda^2, \quad \Lambda_+ = -6(\alpha + \lambda)^2, \quad \alpha > \lambda$$



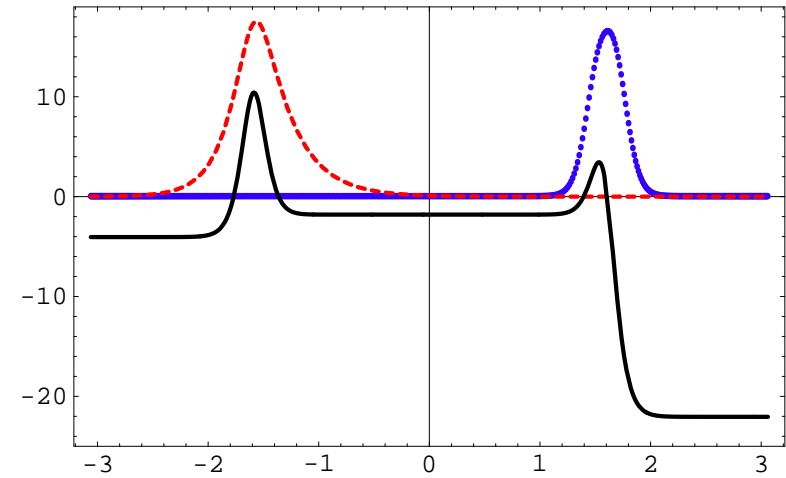
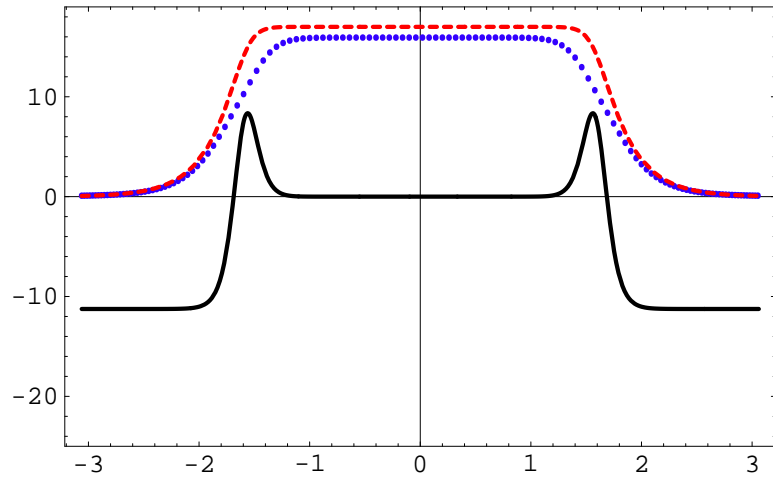
4.- Modo cero gravitacional

$$\tilde{\psi}_0(x) \sim \Theta(-x) |x|^{\frac{-3\delta}{2\lambda} \sqrt{\frac{|\Lambda_-|}{6}}} + \Theta(x) |x|^{\frac{-3\delta}{2\lambda} \sqrt{\frac{|\Lambda_+|}{6}}}$$

5.- Fermiones no masivos

$$\tilde{u}(x) \sim \Theta(-x) |x|^{(2\sqrt{\frac{|\Lambda_-|}{6}} - \eta_F \frac{\pi}{2} \phi_0)} + \Theta(x) |x|^{(2\sqrt{\frac{|\Lambda_+|}{6}} - \eta_F \frac{\pi}{2} \phi_0)}$$

$$\eta_F > \frac{4}{\pi \phi_0} \sqrt{\frac{|\Lambda_+|}{6}}$$



VII. JERARQUÍA SOBRE LA BRANA DOBLE

1.- Modos masivos sobre las sub-branas

- $s \rightarrow \infty$
- $ds^2 = e^{2\tilde{A}(\chi)} (-dt^2 + dy^i dy^i + d\chi^2)$

$$\tilde{\psi}_m(\chi) = N_m \begin{cases} (k_+^{-1})^{1/2} [Y_2(m/k_+) + C_+ J_2(m/k_+)] , & \chi = \chi_+ \\ (k_0^{-1} + \chi_{\pm})^{1/2} [A Y_2(m(k_0^{-1} + \chi_{\pm})) + B J_2(m(k_0^{-1} + \chi_{\pm}))] , & \chi = \chi_{\pm} \\ (k_-^{-1})^{1/2} [Y_2(m/k_-) + C_- J_2(m/k_-)] , & \chi = \chi_- \end{cases}$$

2.- Condiciones de borde

$$\tilde{\psi}_m^+(\chi_+) = \psi_m^0(\chi_+),$$

$$\frac{d}{d\chi} \tilde{\psi}_m^+(\chi_+) - \frac{d}{d\chi} \psi_m^0(\chi_+) = -3\alpha e^{-\lambda\delta/\alpha} \tilde{\psi}_m(\chi_+)$$

$$\tilde{\psi}_m^-(\chi_-) = \tilde{\psi}_m^0(\chi_-),$$

$$\frac{d}{d\chi} \tilde{\psi}_m^0(\chi_-) - \frac{d}{d\chi} \tilde{\psi}_m^-(\chi_-) = -3\alpha e^{\lambda\delta/\alpha} \tilde{\psi}_m(\chi_-)$$

3.- Correciones

$$\tilde{V}(r) \sim G \frac{m_1 m_2}{r} \left[|\tilde{\psi}_0(\chi_{\pm})|^2 + \int_0^{\infty} |\tilde{\psi}_m(\chi_{\pm})|^2 e^{-mr} dm \right]$$

4.- Modos masivos aproximados

$$\tilde{\psi}_m(\chi_+) \sim \frac{1}{4} \left[\frac{\lambda}{5} \left(1 - \frac{\lambda^2}{\alpha^2} \right) \right]^{1/2} \left(\frac{m}{\alpha e^{-\lambda\delta/\alpha}} \right)^{5/2}$$

$$\tilde{\psi}_m(\chi_-) \sim \frac{1}{4} \left[\frac{\lambda}{5} \left(1 - \frac{\lambda^2}{\alpha^2} \right) \right]^{1/2} \left(\frac{m}{\alpha e^{-\lambda\delta/\alpha}} \right)^{5/2} e^{3\lambda\delta/2\alpha}$$

5.- Potencial de Newton

$$\begin{aligned} V^+(r) &= \frac{G^+ m_1 m_2}{r} \left[1 + \left(\frac{r_c}{r} \right)^6 \right], & G^+ &= G_5(N_0)^2 e^{-3\lambda\delta/\alpha} \\ V^-(r) &= \frac{G^- m_1 m_2}{r} \left[1 + \left(\frac{r_c}{r} \right)^6 \right], & G^- &= G_5(N_0)^2 e^{3\lambda\delta/\alpha}, & r_c &\sim e^{\lambda\delta/\alpha} \end{aligned}$$

Gravedad Newtoniana para $r \gg r_c$

6.- Jerarquía

$$G^+ = e^{-6\lambda\delta/\alpha} G_- \quad \Rightarrow \quad M_{Pl}^+ = e^{3\lambda\delta/\alpha} M_{Pl}^-$$

A partir de una M_{Pl}^- del orden TeV es posible obtener una M_{Pl}^+ del orden 10^{19} GeV, escogiendo $3\lambda\delta/\alpha \sim 12$

SUMARIO

- Sustentado en la linealización de una de las ecuaciones del sistema acoplado Einstein campo escalar, encontramos **un mecanismo para generar nuevas soluciones al acoplamiento**.
- A partir del mecanismo, **encontramos dos configuraciones asimétricas**. La primera corresponde a una brana con expansión de sitter ubicada en la interface de un espacio-tiempo con curvaturas diferentes a cada lado de la pared. La segunda, corresponde a un espacio-tiempo estático y asimétrico, donde la brana es una estructura sustentada sobre dos hipersuperficies.
- **Sobre ambas estructuras asimétricas fue posible localizar gravedad**. Específicamente, sobre la brana estática se encontró que la gravedad selecciona una de las sub-paredes para realizar nuestro Universo.
- A partir de un falso superpotencial, se encontró una pared con estructura interna inmersa en un espacio-tiempo con curvaturas asintóticas *AdS* diferentes. **La asimetría del sistema se manifestó en la localización del modo cero de las fluctuaciones gravitacionales y espinoriales**. Tales fluctuaciones yacen localizadas sobre branás diferentes.
- La marcada supresión de la gravedad sobre la braná débil, permitió **una realización explícita del problema de jerarquía** sobre esta braná.